

寒冷地における溶接構造用鋼材

総括執筆者（座長） 渡辺 昇*
 話題提供者 阿部 英彦**
 同 大島 久***
 同 進藤 弓弦****
 同 堀川 浩甫*****

1. まえがき

わが国の鋼道路橋示方書においては、設計に用いる温度変化の範囲として、 -10°C から $+50^{\circ}\text{C}$ まで、とくに気候寒冷地方では -30°C から $+50^{\circ}\text{C}$ までの値を標準として定めている（とくに北海道においては -40°C 以下になる地方もある）。また、最近は日本よりもっと寒冷の国に鋼材を輸出しなければならない事例もふえてきている。したがって、寒冷地における溶接構造用鋼材についての種々の問題点を中心に話題を提供することにした。話題提供者による内容は次のとおりである。

寒冷地の鉄道橋の鋼材の選択（阿部）

北海道の道路橋の鋼材の選択（大島）

寒冷地用溶接構造用鋼材の製造要因と溶接部の挙動
(進藤)

構造用鋼材の韌性の評価法 (堀川)

2. 寒冷地の鉄道橋の鋼材の選択

鉄道橋は道路橋に比べて設計荷重に近い大きさの列車荷重が頻度高く載荷され、しかも大きい衝撃を伴うので応力的に厳しい条件にあると考えられる。そこで、北海道等、寒冷地における鉄道橋には、比較的最近までリベット構造を採用していたが、これは主として、脆性破壊に対する安全のためであった。鉄道橋の脆性破壊の経験^{1), 2)}、最近の鋼材の発達、溶接技術の進歩などにより、

寒冷地においても最近において溶接構造が使用されるようになってきたが、國鐵においても、使用鋼材については設計示方書に特別仕様を与え、溶接方法についても製作示方書で特に規定を設けるようにしているので、その二、三の例について次に述べる。

(1) 材料選定上の注意

鋼鐵道橋設計標準では、一般に表-1のように鋼材の適用を規定している³⁾。しかし、北海道のように寒冷な地域では表-2のように、特別仕様をつけて全溶接構造を採用している⁵⁾。すなわち、旭川を中心とした極寒地(-40°C)と札幌を中心とした準極寒地(-30°C)とに分けて、設計標準で規定する材質に対応して、圧縮部材では JIS G 3106(溶接構造用圧延鋼材)の中でランクアップしたり、引張部材では同 JIS 規格のシャルピー衝撃保証値を 0°C ではなく、極寒地では -40°C で、また準極寒地では、 -30°C で保証するよう特別仕様している。

なお、北海道のみでなく、本州の北部や高地で北海道に準ずる寒冷地でも、この仕様を適用することにしていく。

表-1 溶接構造用鋼材 (國鐵)

鋼材規格		厚さ t (mm)	Vノッチシャルピー衝撃試験 吸収エネルギー (kg·m)	備考
SM41, SMA41	A	$t \leq 16$	—	試験温度 0°C , 4号試験片 (圧延方向)
	B	$16 < t \leq 25$	2.8 以上	
	C	$25 < t \leq 50$	4.8 以上	
SM50	B	$t \leq 25$	2.8 以上	
	C	$25 < t \leq 50$	4.8 以上	
SM50Y, SMA50	B	$t \leq 25$	2.8 以上	
SM53, SMA50	C	$25 < t \leq 50$	4.8 以上	

* 正会員 工博 北海道大学教授 工学部土木工学科
 ** 正会員 日本国鉄道構造物設計事務所 次長
 *** 正会員 本州四国連絡橋公団第三建設局 建設部長
 (前・北海道開発局土木試験所構造研究室長)
 **** (株)日本製鋼所室蘭製作所 研究所主任研究員
 ***** 正会員 工博 東京都立大学助教授 工学部土木工学科

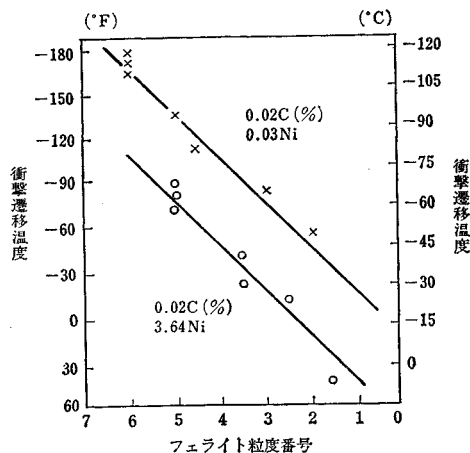


図-5 炭素鋼と Ni 鋼の衝撃遷移温度と
フェライト粒度の関係

その二、三の問題点について次に述べる。

(1) 実用鋼材の低温靭性

鋼材の低温靭性を支配する因子は、外的因子として、使用温度、応力状態、負荷速度、雰囲気などがあり、鋼材面からの因子として、含有元素、結晶粒度、熱間加工条件（圧延条件）、熱処理、施工面からの因子として、冷間・熱間加工、溶接条件（溶接入熱量）などがある。

鋼材の面から考えると、-45°Cまでの使用温度に耐えうる鋼材は、C-Mn-(Al, Nb, V, Ti)系の鋼材が一般的で、高靭性を確保するために低炭素型(C≤0.15%)で、かつMn/C比の高いことが要求される。図-4は、日本製鋼所で製造している低温用TEYON-100Aの例である。さらに最近は、鋼中不純元素（例えばPのような低温脆性促進元素）に対する配慮もなされている。Niは靭性向上に有効な元素であるが高価であり、2.5%Ni～9%Ni鋼のように、-100°C以下での超低温用に使用する場合が多い。そこで、C-Mn系を主成分とし低温靭性改善のための冶金学的努力が種々なされてきた。それが、フェライト結晶粒度の微細化処理を目的とした製鋼作業における脱酸効果や、圧延作業における圧延温度調整でもある。図-5に、C鋼とNi鋼のフェライト結晶粒度（粒度番号の大きいほど粒子が細かい）と衝撃遷移温度の関係を示す。製鋼時の脱酸剤の添加方法として、 $0.018 \geq Al \geq 0.058\%$, $Al \geq 0.018\%$ に $Zr \leq 0.015\%$ や $Al \geq 0.018\%$, $0.010 \geq Ti \geq 0.040\%$ 、加えて最近は、 $Al+Nb$, $Al+V$, $Al+Nb+V$ などの複合脱酸でもってフェライト結晶粒度の微細化の研究がなされてきた。一方、これらの脱酸元素を添加した鋼材は、圧延加工終了温度をできるだけ下げ、また加工末期に大きな変形を与えることによって、最終製品のフェライト結晶粒度の微細化が著しい。例えば、図-6に示

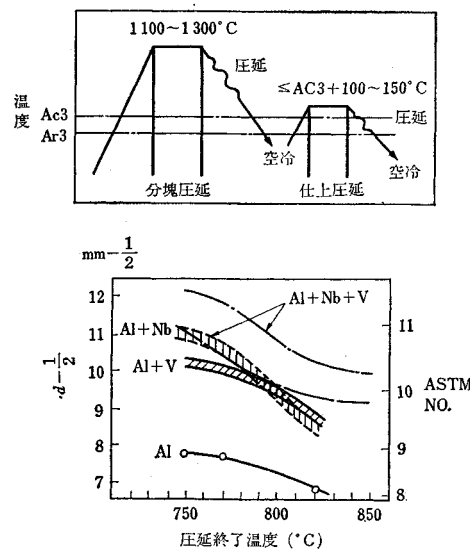


図-6 圧延スケジュールとフェライト粒度の関係

すように、分塊圧延後 900°Cに再加熱した板厚 30 mm の鋼材を板厚 15 mmまで熱間圧延した場合、フェライト結晶粒度は圧延終了温度の影響を著しく受け、圧延終了温度を 770°C以下に調整（コントロールローリング）することにより、2.5～3.5%Ni鋼と同等の低温靭性をもつ非調質高靭性鋼が開発された。

鋼材の低温靭性は熱処理内容によって著しく向上し、とくに焼入れ焼もどし調質鋼は各種溶接構造用鋼に実用化されている。一方、最近の溶接技術の進歩は著しく、被覆アーケ、潜弧自動溶接、半自動溶接、エレクトロガス溶接（エレクトロスラグ溶接）等の溶接法があるが、鋼材の性能と同等またはそれ以上の性能をもつ溶接材料の選択にも十分配慮しなければならない。

(2) 溶接施行

溶接構造物の破壊強度を考える場合、使用鋼材、継手の拘束状態および溶接施行法などの見地から、溶接熱影響部（とくにボンド部）に現われる脆化域に鋭い欠陥が存在する場合、高い溶接残留応力とあいまって脆性破壊発生の可能性を考えなければならない。すなわち、溶接割れとくに低温割れ防止のために適正予熱温度は、鋼材の化学成分、溶接金属中の水素量、継手の拘束度に基づいて決めなければならない。

SM 50～HT 80 の成分範囲内の鋼種について、1層ビード部のルート割れ防止に対する予熱条件発生のためのノモグラムは図-7のとおりである。ここで、

$$P_w = C + \frac{Si}{30} + \frac{Mn}{20} + \frac{Cu}{20} + \frac{Ni}{60} + \frac{Cr}{20} + \frac{Mo}{15} + \frac{V}{10} + 5B + \frac{H}{60} + \frac{K}{40 \times 10^3} \quad (\%)$$

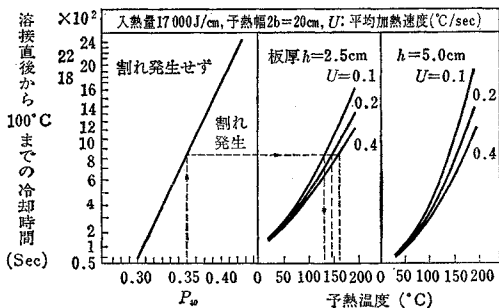


図-7 P_w 値、 100°C までの冷却時間と局部予熱温度の関係

H : 溶接金属の拡散性水素量 (cc/100 g) (急冷法),
 K : 縫手の拘束度 ($\text{kg}/\text{mm} \cdot \text{mm}$) である。

H は $2.5 \sim 2.5 (\text{cc}/100 \text{ g})$, Y 開先拘束割れ試験での拘束度 K は, $K = 69 \times \text{板厚 } (t)$, 実際の予熱作業における平均加熱速度 U は, およそ $0.1 \sim 0.2^{\circ}\text{C}/\text{sec}$ の範囲内と考えてよい。

もう一つの溶接に伴う鋼材欠陥として, 板厚中央部のラミネーション状非金属介在物によるラメラティアを考慮する必要がある。構造物の拘束度が大きい場合は, 超音波探傷試験でなんら異常が認められないのに, すみ内溶接のビード下割れが発生する場合がある。その主因は MnS , Al_2O_3 などの非金属介在物の点在と, それに伴う板厚方向の延性脆弱といわれる。このラメラティアー感受性は, 溶接時の予熱, 延性ある溶接金属の採用, 鋼中清浄度の改善 (とくに Si , S , Al) によって弱めることができる。図-8 に S 含有量とラメラティアの関係を示す。

溶接金属は大きく発達したデンドライトと, 結晶粒界に偏析した P や S その他の低融点の不純物の影響で高温割れが発生することもある。そこで, $\text{C} \leq 0.10\%$, $\text{P} \leq 0.02\%$, $\text{P} + \text{S} \leq 0.025\%$ のような溶接金属は高温延性が改善され, 高温割れが起りづらくなる。

このような施工上の注意とともに, 溶接金属を含む溶接部の欠陥は, 破壊検査, 非破壊検査でもって完全に除去して, 脆性破壊の引き金となる根源を残さぬことも重要である。

なお, 表-5 は, 日本製鋼所製調質 60 キロ高張力鋼 (2H 鋼) の溶接方法 (溶接入熱量) による溶接部の韌性変化を示す。ボンド部は溶接金属の影響をわずかに受け

表-5 溶接法による 2H 鋼溶接部の衝撃特性
(板厚 44 mm)

溶接法	入熱量 ($\times 10^3 \text{J/cm}$)	溶接金属	ボンド	熱影響部
被覆アーク	17	10.1(30)	9.2(23)	6.7(33)
横向潜弧	49	7.2(33)	6.9(50)	4.9(73)
エレクトロガス	137	7.9(33)	5.9(46)	3.1(70)

注: ① 数値は $\nu E_0 (\text{kg} \cdot \text{m})$.

② () 内は脆性破面率 (%)。

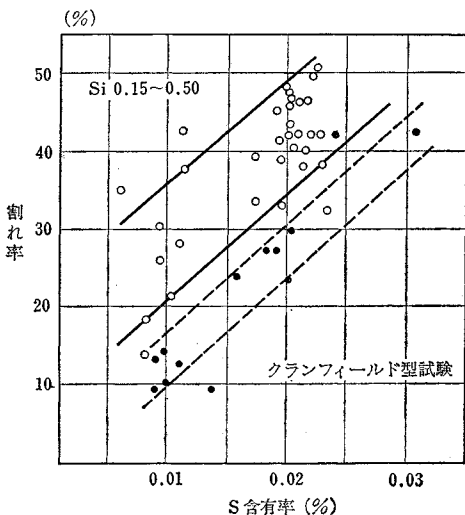


図-8 S 含有量がラメラティアに及ぼす影響

るが, ボンド部近傍の熱影響部は溶接入熱量の増加とともに脆化の度合いが大きい。すなわち, 適正溶接材料の選定と同時に適正溶接入熱量を調整して, 健全かつ低温非性の高い溶接構造物を製作するために, 種々の因子を検討する必要がある。

5. 構造用鋼材の非性の評価法

寒冷地の溶接構造物に使用される鋼材は, 低温非性の高いものでなければならない。構造用鋼材に対する要求非性値の考え方を中心に, その二, 三について次に述べる。

(1) シャルピー衝撃試験

脆性破壊に対して鋼材が示す抵抗の度合いをできるだけ

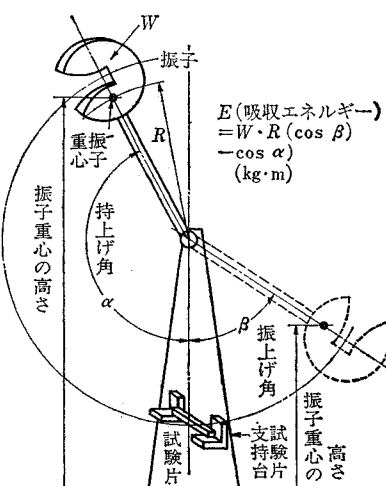


図-9 シャルピー衝撃試験法

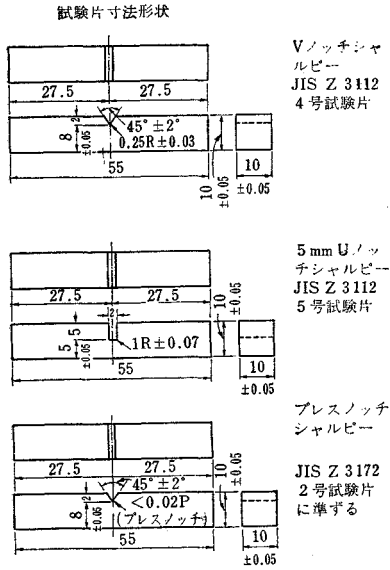


図-10 各種衝撃試験片寸法

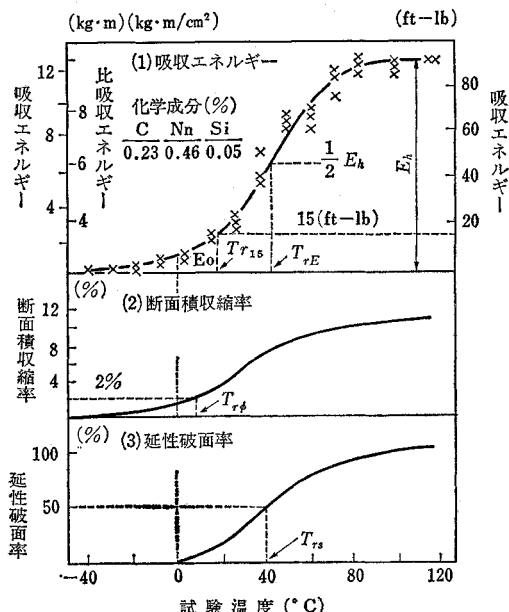


図-11 ノッチシャルピー衝撃試験結果の一例

け簡便に調べる小型試験法として衝撃試験がある。衝撃試験機として最も普及しているのは、図-9のCharpy試験機であり、試験片を支持台に乗せるだけで直ちに衝撃を与えることができる。試験片には、図-10のように、Vノッチ、Uノッチ、プレスノッチの各種がある。試験片の温度とVノッチシャルピー試験による吸収エネルギー ($E = W \cdot R(\cos \beta - \cos \alpha)$)との関係を示す試験結果の一例は、図-11のとおりである。ここで、 T_{rs} ：延性破面率(脆性破面率)が50%となる温度、 T_{rE} ：

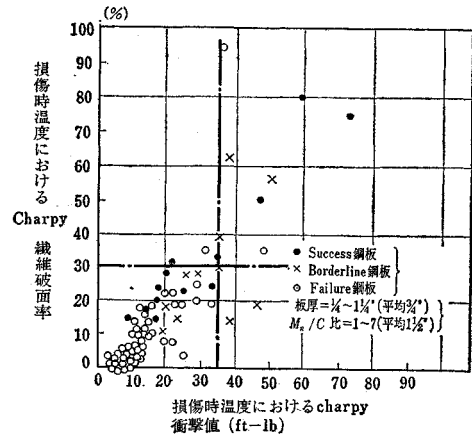


図-12 損傷材に関する LR 調査結果¹²⁾

吸収エネルギーが100%延性的ときの吸収エネルギー E_h の50%となる温度、 T_{r15} ：吸収エネルギーが15 ft-lbとなる温度である。Vノッチシャルピー試験は鋼材等級の分類に重要な役割を演じ、1953年アメリカ合衆国 Ship Structure Committee による損傷船についての調査結果では、 $vE=15$ ft-lb、フランスの Bonhamme が1955年にIIWの第IX委員会に報告した損傷船についての調査結果では、 $vE=20$ ft-lb (2.8 kg·mに換算されてJISのB種の規格値)、1958年イギリス船級協会 Lloyd Register (LR) の損傷船についての調査結果(図-12参照)では $vE=35$ ft-lb (4.8 kg·mに換算されてJISのC種の規格値)となっている。

(2) 破壊力学

脆性破壊の機構は力学的立場からも研究されているが Griffith によるエネルギー論によれば、図-13のように無限板に長さ $2c$ の亀裂が存在し、亀裂に直角方向に一樣引張応力 σ が作用する場合、亀裂の拡大 (dc) に伴って解放される弾性ひずみエネルギーが、新しい破面を形成するに要する仕事より大きいか等しいとき、不安定破壊が生ずると考える。すなわち、弾性エネルギーの解放率 dU/dc (これを crack extension force G とも呼ぶ) と表面エネルギー S との関係は

$$U = \frac{\pi \sigma^2 c^2}{E}, G = \frac{dU}{dc} = \frac{\pi \sigma^2 c}{E} \geq 2S \quad \dots \dots \dots (1)$$

ここで、 E ：ヤング率である。

また、Orowan は鋼板のように塑性変形が亀裂先端に生ずる場合、すなわち脆性破面直下に薄い塑性変形層が存在する場合には、前記の表面エネルギーの代わりに塑性仕事を用いればよいと提唱した。すなわち、 S は塑性表面エネルギーとするといい。

また、Irwin は亀裂先端の応力集中を考慮して、式(1)の第2式に相当するものとして次式を与えた。

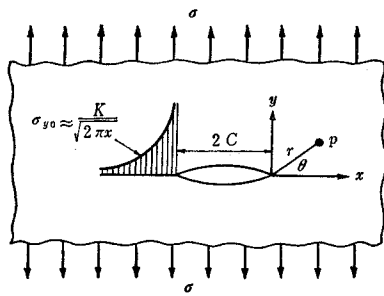


図-13 引張応力 σ を受けた切欠つき平板

$$G = \frac{K^2}{E}, \quad K = \sqrt{GE} = \sigma \sqrt{\pi c} \quad \dots \dots \dots \quad (2)$$

ここで、 K を応力拡大係数 (Stress intensity factor) と呼ぶ。上記の G の値がある値 G_c に等しくなると破壊が発生すると考える。種々の応力場の場合の K の値については、数多くの研究者により検討されている。

(3) 大型試験と WES の考え方

現在実施されている大型試験は、表-6 および 図-14～18 のとおりである。

最近、わが国で立案・実施されている「日本溶接協会 WES 規格、低温構造用鋼板材質判定基準（案）」は、近年急速な発展を示している破壊力学の知識を活用し、数多くの鋼種について求められた各種遷移温度間の相関関係および、外国の規格値を参照して作製されたものである。低温用構造物を設計する場合に、使用温度に応じて適当な鋼板を選ばねばならないが、鋼板の脆性破壊に対する特性を示すものとして、この判定基準に基づく WES 認定値が広く用いられている。

本判定基準は、低温 (0°C 以下) にさらされる溶接構造物に用いられる構造用圧延鋼板で、板厚が 5 mm を超え 50 mm 以下のもので最低使用温度が -170°C 以上のものに適用される。鋼板を特性に従って G 種 (general use) と A 種 (arrest use) の 2 つに分類する。G 種は、脆性破壊の発生を考慮しなければならない溶接構造物に一般的に用いられるものであり、A 種は、なんらかの原因により万一事故を生じても脆性亀裂の伝播を阻止する特殊な性能が要求される場合に用いられるものである。一

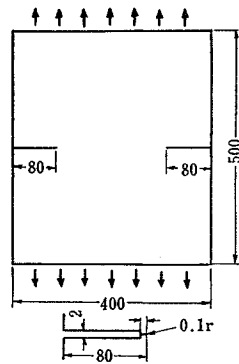


図-14 Deep Notch の試験

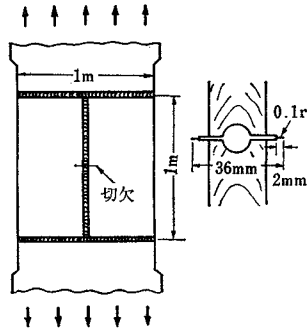


図-15 切欠つき広幅試験

表-6 大型試験の分類

特 性	試 験 法	温 度 分 布
発生および伝播	Deep Notch 試験 (図-14) 切欠つき広幅試験 (図-15) ESSO 試験 (図-16)	一様型
伝播および停止	Robertson 試験 (図-17) 二重引張試験 (図-18) ESSO 試験 (図-16)	勾配型または平坦型

般に、脆性破壊の発生特性は種々の要因の影響を受けやすいので、最近改訂された基準では鋼板そのものの材質判定基準であることを考慮し、従来の一様温度型 ESSO 試験の非発生温度に基づく方法をとりやめて、ごく短い脆性亀裂 (亀裂長さ $2c=20$ mm) ならば、その伝播を阻止することのできる性能をもつ種別を新しく設け、これを G 種と呼ぶことにした。A 種としては、従来の基準

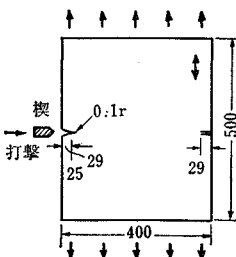


図-16 ESSO 試験

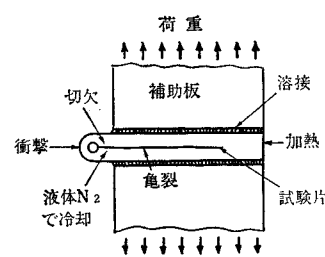


図-17 Robertson 試験

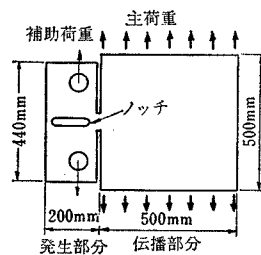


図-18 二重引張試験

と同様に亀裂長さが $2c=200$ mm で停止することができる性能をもつものを採用する。

(4) 大型試験と小型試験との関係

工業的試験法として、いちいち大型試験を行うのは困難であるので、小型試験により材質判定を行う方が有利である。この場合、温度勾配型二重引張試験の停止温度 $\sigma_{y/2} T_{aG}$ と、プレスノッチシャルピー衝撃試験の脆性破面率遷移温度 νT_c の間に良い相関関係があり、さらに νT_{rs} と同試験のエネルギー遷移温度 νT_{rE} の間にも相関関係があるので、順次にこれをつらねると、ばらつきはあるが、 $\sigma_{y/2} T_{aG}$ と νT_{rE} の間に相関関係が求められる。これをもとにして、各種の大きさの応力（設計応力）および最低使用温度に対して G 種および A 種の場合の νT_{rE} が推定される。したがって、指定された温度で V ノッチシャルピー衝撃試験を行い、同様の試験片で 100% のせん断破面（すなわち、延性破壊）を示す温度における衝撃値と比較して、前者が後者の 50% 以上、すなわち指定温度より低い νT_{rE} を示すならば、表示の設計応力、最低使用温度、最大板厚で G 種および A 種として脆性破壊に対する安全性が保証されることになる。

例えば、25 mm 厚 SM 50 材 ($\sigma_{ta}=19 \text{ kg/mm}^2$) を -30°C で使用する場合、G 種では $\nu T_{rs} \leq -15^\circ\text{C}$ 、A 種では $\nu T_{rs} \leq -45^\circ\text{C}$ である。また、50 mm 厚 HT 80 材 ($\sigma_{ta}=36 \text{ kg/mm}^2$) を -30°C で使用する場合、G 種では $\nu T_{rs} \leq -40^\circ\text{C}$ 、A 種では $\nu T_{rs} \leq -80^\circ\text{C}$ である。

(5) 土木学会本四鋼材分科会における検討¹¹⁾

溶接継手には、図-19 のように種々の欠陥が考えられる。これらの欠陥を考慮して、式(2)の K 値を修正する場合、土木学会本四鋼材分科会が与えた式は次のとおりである。

$$\text{Case ① : } K = f(c/B) \frac{t_1}{t} \sigma \sqrt{\pi c} + 6 Y_B \frac{f(c/B)}{f(t_1/t)} \cdot \frac{t_1}{t} \cdot \frac{eK_e + dK_d}{t} \sigma \sqrt{c}$$

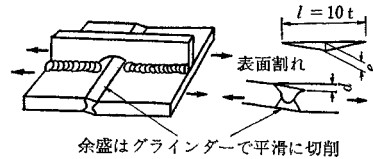
$$\text{Case ② : } K = f(t_1/t) \sigma \sqrt{\pi t_1'} + 6 Y_B \frac{eK_e}{t} \sigma \sqrt{t_1'}$$

$$\text{Case ③ : } K = f(c/B) \sigma \sqrt{\pi c}$$

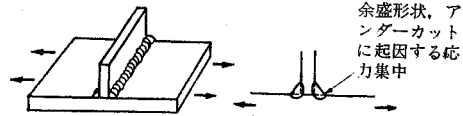
ここで、 $f(c/B)$ 、 $f(t_1/t)$ は、板幅、板厚の補正項、 t は板厚、 t_1 は切欠き深さ、 t_1' は溶接端部の相当切欠き深さ、 Y_B は曲げ応力の軸力による応力への換算係数、 K_e 、 K_d は角折れ、目違いについての係数である。

残留応力の効果を残留応力が大きい場合、 $K_{RS}=200 \text{ kg/mm}^{1.5}$ 、小さい場合 $K_{RS}=70 \text{ kg/mm}^{1.5}$ として加算し、さらに平面ひずみ状態（板厚 40 mm 以上になると実験結果は板厚によらずほぼ一定となり平面ひずみ状態

Case① 角折れ+目違い+非貫通切欠（ボンド部）
+ 残留応力（大）



Case② 隅内溶接 toe 部の応力集中（先端母材）
+ 残留応力（小）



Case③ 板厚貫通切欠（先端母材）
+ 残留応力（大）

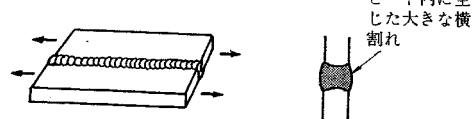


図-19 溶接継手に考えられる種々の切欠状欠陥

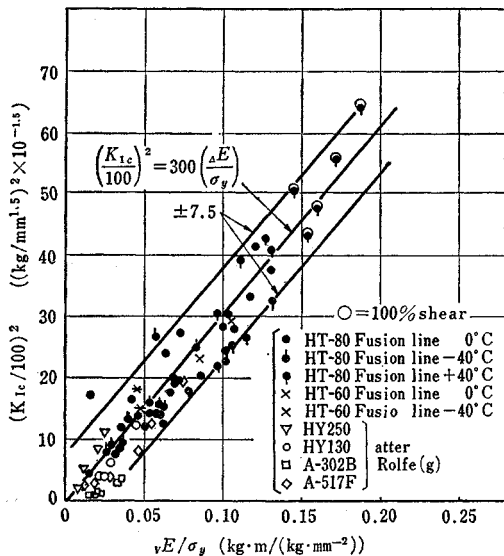


図-20 溶接ボルト部の遷移温度領域における K_{Ic} 値と vE の関係

とみなせる)へ換算する。計算結果を表-7に示す。

HT 60, HT 80 についての数多くの実験を整理した結果として、溶接ボンド部について遷移温度領域で、図-20 のように

$$(K_{Ic}/100)^2 = 300(vE/\sigma_y)$$

の関係があり、また、 νT_{rs} における K_{Ic} 値は約 500 $\text{kg/mm}^{1.5}$ であるとの報告がある¹²⁾。これらの関係を用いて、上述の要求 K_{Ic} 値をシャルピー値に換算し、表-

25 mm に対し), $d=5.0$ mm ($t=50$ mm に対し), 切欠深さ $t_1=8$ mm, 切欠長さ $2c=80$ mm; Case ② では切欠長さ $2c=25$ mm ($t=25$ mm に対し), $2c=40$ mm ($t=50$ mm に対し) であり, たしかに破壊力学を用いて脆性破壊の発生特性を論ずる限りでは, 現行の示方書などは十分すぎる安全性をもっているといえるので, 基準を緩和することが考えられる。しかし, それほど大きな支障がなければ, 現在保持している技術水準を低下させる必要もないと思われる。なお, King's Bridge については, R.B. Madison and G.R. Irwin : Fracture Analysis of King's Bridge, Melbourne, Proc. ASCE., Vol. 97, No. ST 9, Sept. '71. に, 破壊力学の適用がなされているので, それを参照されたい。

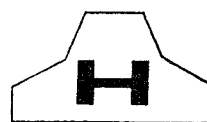
④ 大型試験片を用いた実験や破壊力学を用いた解析により, 作用応力や想定する欠陥の大きさを考慮した韌性の評価が行われている今日では, 第二次大戦直後の経験に基づく νT_{r15} は, 商船のみならず鋼橋に対しても, 判断基準の一つの参考値として重要である。実際の構造物の遷移温度は大型試験によって再現されるが, これらと小型試験による特性値との相関性については, 多くの努力がなされており, 図-20 などはその一例である。したがって, 簡単な小型試験が新しい認識の対象として価値づけられてきていることは好ましいことである。

⑤ Klöppel 法や Bierett 法などの手法についても,

わが国としても今後の研究の対象とすることは必要である。

参考文献

- 1) 友永和夫: 鉄道橋の保守並びに補強方法について, 土木学会夏期講習会パンフレット [II], 昭和 26 年。
- 2) 西村俊夫: 溶接鉄道橋の破損事故, 溶接学会誌, 第 37 卷 (1968) 第 10 号, pp. 12~16.
- 3) 土木学会編: 鋼鉄道橋設計標準解説, pp. 77~79, 昭和 45 年 3 月。
- 4) JRS 05000-1 D-13 AR 1 F, 鋼鉄道橋, 昭和 46 年 12 月 21 日改正, 日本国鉄道。
- 5) 国鉄構造物設計事務所: 鋼橋設計内規 3.2 A, 北海道向け溶接桁, 構造物設計資料 (季刊) 日本鉄道施設協会, No. 28, pp. 10~11, 1971-12.
- 6) 同上: 鋼鉄道橋製作仕様の解説, 寒冷地に使用する構造用鋼材, 同上, No. 29, p. 14, 1972-3.
- 7) 同上: 寒冷地に使用する構造用鋼材の衝撃値, 同上 No. 30, pp. 9~12, 1972-6.
- 8) 越賀房夫: 脆性破壊試験法について, 溶接学会誌, 昭和 38 年 3 月, pp. 4~10.
- 9) 木原博・佐藤邦彦・豊田政男: 日本における溶接構造物の脆性破壊発生に関する研究 (その 1), 溶接学会誌, 第 42 卷 (1973) 第 2 号, pp. 69~90.
- 10) 池田一夫: 低温用溶接構造物の設計, 溶接学会誌, 第 34 卷 (1965) 第 3 号, pp. 3~18.
- 11) 土木学会本四鋼材分科会: 昭和 47 年度報告書。
- 12) 伊藤・田中・佐藤: 造船学会論文集 131 号, 昭和 47 年 5 月。
- 13) 堀川・伊藤・田中: 溶接学会 48 年度秋季講演会。



河川、海岸、港湾の護岸消波用、道路擁壁用、
用排水路用、宅地造成用、(東光石等の環境整備用)各種ブロック、
その他、各種コンクリート製品

共和コンクリート工業株式会社

取締役社長 本間英明

本 社 札幌市中央区南 1 条西 1-8 (有楽ビル) 電話 (011) 251-0181
 東京本社 東京都文京区小日向 4-6-19 (共立会館) 電話 (03) 943-4371~4
 支 店 旭川、札幌、帯広、函館、青森、秋田、岩手、
 仙台、北関東、千葉、神奈川、名古屋、北陸、大阪、九州、福岡
 研究所 技術研究所(札幌市) 中央研究所(埼玉県北本市)
 代理店 岡山、広島(三原市)、山口、徳島、島出雲